

بررسی تغییرات آناتومی و بیومتری چوبکششی صنوبر (*Populus alba*) تحت اثر تیمارهای خم متناوب، کوددهی نیتروژن و هورمون جیبرلین

چکیده

صنوبر از جمله گونه‌های پرکاربرد در صنعت کاغذسازی می‌باشد و نیاز به تولید چوب آن به صورت زراعت چوب و بررسی عوامل مؤثر در ویژگی‌های بیومتری الیاف، آناتومی، فیزیکی، شیمیایی چوب آن بسیار حائز اهمیت است. از جمله عکس‌العمل‌های درختان چوبده از جمله صنوبر به تنش‌ها و عوامل محیطی، تشکیل چوب واکنشی (چوبکششی) در ساختار چوب آن‌ها می‌باشد. چوبکششی منبع غنی از سلولز است که می‌توان با تولید درختانی با چوبکششی بیشتر، میزان سلولز بیشتری را برای مصارف فراوان سلولز از جمله تولید کاغذ و یا سوخت‌های زیستی در اختیار داشت. هدف از این تحقیق، تحریک تشکیل چوبکششی در نهال‌های دوساله صنوبر (*Populus alba*) به‌وسیله اعمال خم متناوب، کوددهی نیتروژن (NPK) و هورمون جیبرلین (G) می‌باشد. اعمال خم به صورت متناوب یک ماه در یک‌جهر و ماه بعدی در جهر مخالف در طول فصل رویش، تیمار کود یک‌بار در اول و یک‌بار در وسط فصل رویش و تیمار جیبرلین یک‌بار اوایل فصل رویش اعمال شدند. پس از پایان فصل رویش ویژگی‌های رویشی، فیزیکی و آناتومی موردنبررسی قرار گرفت. بررسی رنگ‌آمیزی دوغانه سافرانین/آسترابلو در تصاویر مقطع عرضی نمونه‌ها نشان داد که به‌طورکلی تیمارهای تحت خم متناوب نسبت به تیمارهای قائم دارای سطح چوبکششی و ضخامت لایه ژلاتینی بیشتری بودند. همچنین، تیمار خم متناوب با NPK+G دارای دانسیته بیشتر، هم کشیدگی طولی بیشتر، هم کشیدگی شعاعی و مماسی کمتر، قطر آوند و درواقع میانگین مساحت آوند کمتر، تخلخل کمتر، طول الیاف و ضخامت دیواره بیشتر، قطر کلی و قطر حفره الیاف کمتری بود. این نتایج اظهار داشت که این تیمار بیشترین اثر را در تحریک چوبکششی داشت و شدت تشکیل چوبکششی در این نمونه‌ها بیشتر بود.

واژگان کلیدی: صنوبر، آناتومی چوب، چوبکششی، خم متناوب، نیتروژن، جیبرلین، لایه ژلاتینی.

رحمت‌الله گرجیج^۱
کامبیز پور‌طهماسی^{۲*}
رضا معالی امیری^۳
علی عبدالخانی^۴

^۱ دکتری تخصصی بیولوژی و آناتومی چوب، دانشکده منابع طبیعی، دانشگاه تهران، کرج

^۲ استاد گروه علوم و صنایع چوب و کاغذ، دانشکده منابع طبیعی، دانشگاه تهران، کرج

^۳ استاد گروه زراعت و اصلاح نباتات، دانشکده علوم و مهندسی کشاورزی، دانشگاه تهران، کرج

^۴ دانشیار گروه علوم و صنایع چوب و کاغذ، دانشکده منابع طبیعی، دانشگاه تهران، کرج

مسئول مکاتبات:
pourtahmasi@ut.ac.ir

تاریخ دریافت: ۱۳۹۸/۰۵/۱۶

تاریخ پذیرش: ۱۳۹۸/۰۷/۱۵

مقدمه

ساختار چوب آن‌ها می‌باشد. چوب واکنشی تشکیل شده در پهنه برگان را چوب کششی می‌نامند. چوب کششی در سمت بالای تنه تحت خم تشکیل می‌شود و منجر به ویژگی‌های رویش نامتقارن می‌شود و برای در موقعیت درست قرار گرفتن تنه بکار گرفته می‌شود [۳]. علاوه بر افزایش قابل توجه در تقسیمات سلول‌های کامبیومی، چوب کششی یک آناتومی تغییریافته دارد و الیاف در آن دارای یک لایه دیواره سلولی دومین ژلاتینی غنی از سلولز اند [۴]. چوب کششی منبع غنی از سلولز است که می‌توان با تولید درختانی با چوب کششی بیشتر، میزان سلولز بیشتری را برای مصارف فراوان سلولز از جمله تولید کاغذ و یا سوخت‌های زیستی در اختیار داشت. ساختار و مرفو‌لوزی چوب کششی از چوب نرمال متفاوت است. بلورینگی (کریستالیته) سلولز در چوب کششی افزایش می‌یابد، درصد لیگنین کمتر است و ظهرور ریزمنافذ با قطر ۶۱ آنگستروم مشاهده می‌شود. درصد بالای سلولز کریستالی در سمت کششی، درصد لیگنین آن کمتر و همچنین فراوانی ریزمنافذ باعث دسترس پذیری آنزیمی و بازده بالای استخراج سلولز در هیدرولیز آنزیمی می‌شود [۵]. بنابر کاربردهای ویژه چوب کششی که از درصد بالای سلول آن ناشی می‌شود، می‌توان از آن بعنوان یک محصول هدف در زراعت چوب استفاده کرد و با روش‌های تحریک‌کننده تشکیل چوب کششی میزان تولید آن را در حین تشکیل چوب در درخت افزایش داد. مطالعات زیادی بر روی تحریک چوب برای تشکیل چوب کششی و ویژگی‌های آناتومی، شیمیایی، فیزیکی آن انجام شده است. در صنوبر، چوب کششی به وسیله رویش نامتقارن با تقسیم سلولی تسريع شده در ناحیه کامبیومی و کاهش در تعداد عناصر آوندی تولید شده و منجر به تولید الیاف ویژه چوب کششی (دارای لایه ژلاتینی در دیواره سلولی) می‌گردد [۶ و ۷]. لایه ژلاتینی در صنوبر عمدها شامل سلولز کریستالی با میکروفیریل‌های جهت گرفته موازی با محور الیاف است [۸ و ۹]. تشکیل لایه ژلاتینی یکی از مشخصه‌های چوب کششی است، چون لایه ژلاتینی در الیاف چوب واکنشی با استفاده از رنگ‌آمیزی مضاعف سافرانین-آسترابلو به رنگ آبی درمی‌آیند، با استفاده از میکروسکوپ نوری می‌توان آن‌ها را مشاهده کرد.

امروزه چوب در کشورهایی که سطح ناچیزی از آن‌ها پوشیده از جنگل است (از جمله ایران) به عنوان یکی از مواد اولیه مهم صنایع مطرح می‌باشد؛ بنابراین، نیاز به درک بهتر از روابط بین شرایط رشد، فیزیولوزی تولید، میزان تولید چوب و زیست‌توده و ویژگی‌های چوب برای پیش‌بینی اثرات آن‌ها بر خواص کاربرد نهایی چوب و تولید الیاف وجود دارد. چوب دارای پلیمرهای غنی از کربن مانند سلولز، همی‌سلولزا و لیگنین‌ها است. عمدۀ کربن تولید شده به واسطه فتوسنتر در سلول‌های چوب ذخیره و ثبت می‌شود [۱]. در صنعت امروز، چوب به عنوان ماده اولیه لیگنوسسلولزی در تولید محصولات متنوعی استفاده می‌شود ولی با این وجود جبران کمبود این موهبت خدادادی، نیاز به برنامه‌ریزی و توجه بیشتری دارد. جنگل‌کاری‌های دست‌کاشت صنوبر یکی از راه حل‌های کاربردی برای جبران کمبود منابع لیگنوسسلولزی در کشور می‌باشد. جنس صنوبر از خانواده بید و دارای ۴۰ گونه شامل سپیدار (*Populus alba*), تبریزی (*Populus euphratica Oliv.*), صنوبر لرزان (*Populus tremula*), صنوبر اورamerیکن (*Populus tremuloides*), صنوبر دلتوئیدس (*Populus euramericana*) و سایر گونه‌های دورگه (هیبرید) می‌باشد. صنوبر از جمله گونه‌های پرکاربرد در صنعت کاغذسازی می‌باشد و نیاز به تولید چوب آن به صورت دست‌کاشت و بررسی عوامل مؤثر در ویژگی‌های بیومتری الیاف، آناتومی، فیزیکی، شیمیایی چوب آن بسیار حائز اهمیت است. گونه‌های مورد کاربرد در جنگل‌های طبیعی و دست‌کاشت، تحت شرایط مختلف محیطی قرار دارند و عوامل محیطی زیادی درختان را مورد تنش قرار داده و بر رویش آن‌ها مؤثر هستند.

در طول دوره زندگی‌شان، گیاهان دائمًا محرك‌های مکانیکی محیطی را مانند باد، باران، وزن برف یا تماس با دیگر گیاهان و حیوانات را تجربه می‌کنند. گیاهان قادرند با استفاده از درک فشارهای مکانیکی و اصلاح رشدشان بر طبق آن بر این فاکتورهای محیطی چیره شوند [۲]. از جمله عکس‌العمل‌های درختان چوبده از جمله صنوبر به تنش‌ها و عوامل محیطی، تشکیل چوب واکنشی در

بیشتر شد. در نمونه‌های تحت تنشی خم، دانسیته افزایش و هم کشیدگی طولی افزایش ولی هم کشیدگی شعاعی و مماسی کاهش یافت [۱۳]. بررسی تنها جوان صنوبر تحت تیمار خم بک جهته کنترل شده چند مرحله‌ای (اعمال چند مرتبه تیمار خم به صورت مقطعی) به مدت ۸ هفته نشان داد که تنها جوان صنوبر در پاسخ به این تنش، در مقطع عرضی بیضوی شکل شدند [۱۴].

نیتروژن برای رشد سریع در گونه‌های صنوبر ضروری است. برای زراعت چوب موفق، ارزیابی عملکرد رشد و کارایی استفاده نیتروژن تحت رژیم‌های نیتروژن متفاوت ضروری است [۱۵]. در تحقیقی، اثر افزایش عرضه نیتروژن بر روی لیگنینی شدن چوب صنوبر با اعمال کوددهی نیتروژن در طول دوره تشکیل چوب‌کششی مورد ارزیابی قرار گرفت. نتایج نشان داد که عرضه نیتروژن بالا، رنگ‌آمیزی لیگنین را در چوب دومین تازه تشکیل شده کاهش داد که نشان‌دهنده تحت تأثیر قرار گرفتن لیگنینی شدن بود. همچنین نتایج نشان داد که تحریک گرانشی برای تشکیل چوب‌کششی و دسترسی بالای نیتروژن منجر به اثرات مشابه و اضافی بر روی ساختار و مقدار لیگنین می‌شود [۱۶]. مطالعه اثر غنی کردن دی-اکسید کربن آزاد و کوددهی نیتروژن بر آناتومی جوان چوب سه گونه از صنوبر (*P. euramericana*, *P. nigra*, *P. alba*) بعد از جنگل‌کاری با اعمال کوددهی به صورت یکبار در هفته از ۸ جولای شروع و برای یک دوره ۱۶ هفته‌ای انجام شد. در سه کلن صنوبر بیشتر ویژگی‌های آناتومی و رویشی الگوی واکنش نایکنواختی را برای افزایش دی-اکسید کربن و کوددهی نیتروژن نشان دادند. در *P. nigra* کوددهی منجر به افزایش دو برابری در چوب‌کششی شد اما در کلن‌های دیگر به این شکل نبود [۱۷]. و همکاران (۲۰۰۷b) اثرات تیمار کوتاه‌مدت نیتروژن بر روی تشکیل چوب و ویژگی‌های فیبر در صنوبر *Populus trichocarpa* × *deltoides*) (را هیبریدی موردنبررسی قراردادند. نتایج نشان داد که در اثر این تیمار کوتاه‌مدت، گیاه با اعمال تغییراتی در مرغولوژی فیبر چوب و ساختار دیواره سلولی خود را به دسترس پذیری نیتروژن سازگار می‌کند. در اثر تیمار، نسبت به نمونه شاهد، طول فیبرها کمتر و پهنای آن‌ها بیشتر شد. ضخیم شدن معنی‌داری در دیواره‌های سلولی فیبر و ایجاد لایه دیواره سلولی

Lashkarbolouki و همکاران (۲۰۱۵) با استفاده از روش نمونه‌گیری سطحی در درختان چندگونه صنوبر سرپا در چند رویشگاه به اندازه‌گیری طول الیاف و دانسیته تر در سه بخش نزدیک پوست، بخش میانی و نزدیک مغز درخت پرداختند. نتایج نشان داد که میانگین طول الیاف و دانسیته تر سه بخش *P. alba* به ترتیب برابر با ۸۹۸ میکرون و ۷۷۰ بود [۱۰]. بررسی‌های Tarmian و Sayar (۲۰۱۰) بر روی تأثیر شکل‌گیری چوب‌کششی در گونه تبریزی (*P. nigra*) بر ویژگی‌های آناتومی آن نشان داد که فراوانی و قطر آوندها در چوب نرمال بیشتر از چوب‌کششی است. در مقابل، فراوانی اشعه چوبی در چوب‌کششی بیشتر از چوب نرمال بود. برخلاف طول اشعه چوبی، پهنای اشعه در چوب‌کششی در مقایسه با چوب نرمال بیشتر بوده است [۱۱]. مطالعات میکروسکوپ الکترونی نیز نشان داد که حفره سلولی بیشتر فیبرهای چوب‌کششی با لایه ژلاتینی مسدود هستند. در مطالعه مشابه دیگری بر روی همین گونه، نتایج نشان داد که الیاف چوب‌کششی از طول و ضخامت دیواره بیشتر، قطر کلی و قطر حفره کمتر در مقایسه با چوب نرمال برخوردار هستند و درنتیجه نسبت رانکل و نسبت لاغری بیشتری در مقایسه با الیاف چوب نرمال دارند. در مقابل، الیاف چوب نرمال نسبت به الیاف چوب‌کششی نسبت انعطاف‌پذیری بالاتری داشتند [۱۲]. Jourez و همکاران (۲۰۰۱) در مطالعه‌ای خواص آناتومی چوب‌کششی و مقابل ایجادشده در *P. euramericana* cv ‘Ghoy’ درجه موردنبررسی قراردادند. نتایج نشان داد که الیاف چوب‌کششی نسبت به چوب مقابل بلندتر بوده و قطر مماسی کمتری داشتند و از طرفی فراوانی و تخلخل آوندها در مقطع عرضی در چوب‌کششی کمتر از چوب نرمال مقابل بود [۱۴].

Fung و همکاران (۲۰۰۶) مطالعه‌ای را بر روی ارتباط تنش‌های رشد در درختان خمیده صنوبر *Populus deltoides* Bartr. cv. “Lux” ex I-69/55 چوب مورد بررسی قرار دادند. نتایج نشان داد که تحت تنش خم، طول الیاف افزایش و قطر حفره بهطور جزئی افزایش، قطر کلی الیاف کاهش و ضخامت دیواره الیاف که لایه ژلاتینی از آن‌ها استخراج شده بود کاهش داشت، همچنین فراوانی آوندی کاهش و فراوانی الیاف و اشعه‌ها

در شرایط تقریباً متقاضی حلقه رویش در تشکیل چوب صنوبر دو ساله بررسی شد.

مواد و روش‌ها

کاشت نهال‌ها و اعمال تیمارها

در این تحقیق گونه صنوبر (*Populus alba*) دو ساله تحت تیمارهای کود NPK، تیمار هورمون جیبرلین و خم متناوب در مزرعه تحقیقاتی دانشگاه تهران قرار گرفتند. تیمار کود مایع نیتروژن (NPK; 30-5-5) در درختان دو ساله صنوبر در سایت درخت‌کاری به صورت تیمار دو مرحله‌ای، یکبار در اول فصل رویش و یکبار در وسط فصل رویش به صورت ۳۰۰ میلی‌لیتر محلول ۴۰ گرم در لیتر از کود به خاک اطراف نهال اعمال شده است. تمام نمونه‌ها به طور منظم و هفتگی آبیاری شدند. تشکیل چوب‌کششی با خم کردن متناوب ساقه اصلی نهال‌ها به میزان ۴۵ درجه از محور عمودی نهال در حین فصل رویش القا شد. در هر ماه جهت خم در یک سمت و در ماه بعدی در خلاف جهت، خم صورت گرفت. نمونه‌های قائم بدون اعمال تیمار به عنوان نمونه کنترل در نظر گرفته شدند. تیمار هورمون جیبرلین به طور منفرد در اوایل فصل رویش به صورت محلول ۳۰۰ میلی‌لیتری با غلظت ppm ۵۰۰ وزنی/وزنی جیبرلین در آب مقطر به خاک اطراف نهال اضافه شد. تیمارها به دو شکل مستقل و ترکیبی اعمال شدند.

نمونه‌برداری

نهال‌ها در پایان فصل رویش قطع شدند و از ارتفاع ایجاد خم برای تمامی نهال‌ها، نمونه‌گیری برای آزمون‌های موردنظر انجام شد. از نمونه قطع شده در پایان فصل رویش برای بررسی‌های میکروسکوپی و آناتومی استفاده شد. برای بررسی میکروسکوپی، نمونه‌های بافت چوبی جدا شده از هر نهال درون فرمالین استیک اسید الکل (FAA) نگهداری شدند. پوست و مغز نمونه‌های باقیمانده حذف شدند.

داخلی غنی از سلولز (لایه ژلاتینی) مشاهده شد [۱۸]. همچنین Pitre و همکاران (۲۰۱۰) بر اساس بررسی کوددهی زیاد نیتروژن و خم کردن تنہ به صورت مجزا و در تیمارهای باهم بر روی تشکیل چوب در صنوبر (*Populus trichocarpa × deltoids*) بیان نمودند که هر یک از تیمارها دیوارهای سلول ضخیم‌تری نسبت به نمونه شاهد داشتند. نیتروژن زیاد فیبرهایی کوتاه‌تر، در حالی که خم کردن فیبرهایی بلندتر را در درخت ایجاد کرد. در هر دو تیمار ضخامت دیواره الیاف افزایش یافت. تیمار ترکیبی خم به همراه کوددهی نیتروژن منجر به افزایش طول الیاف و ضخامت دیواره شد [۱۹].

مطالعه Funada و همکاران (۲۰۰۸) تشکیل چوب‌کششی تحریک شده با جیبرلین در درختان قائم چهار گونه پهنه‌برگ نشان داد که با اعمال جیبرلین، چوب‌کششی همراه با الیاف دارای لایه ژلاتینی در این نمونه‌ها ایجاد می‌شود [۲۰]. مطالعه Jiang و همکاران (۲۰۰۸) بر روی استفاده از جیبرلین‌ها در تشکیل چوب‌کششی در نهال‌های گونه‌ای زبان‌گنجشک نشان داد که اعمال جیبرلین به نهال‌های خمشده منجر به افزایش نسبت سطح الیاف دارای لایه ژلاتینی به چوب تازه تشکیل شده در حلقه رویش و کاهش فراوانی آوندها در چوب‌کششی شد. همچنین اعمال جیبرلین باعث ایجاد لایه ژلاتینی در هر دو حالت ایستاده و خم نسبت به نمونه شاهد شد ولی ضخامت لایه ژلاتینی در نمونه‌های خمیده بیشتر از نمونه‌های ایستاده بود، با اعمال جیبرلین، ضخامت دیواره افزایش و قطر کلی الیاف و قطره حفره سلوی الیاف کاهش یافت [۲۱]. نتایج حاصل از مطالعه Nugroho و همکاران (۲۰۱۲) بر روی اثر جیبرلین بر تشکیل چوب‌کششی در نهال‌های خمشده آکاسیا نشان داد که اعمال جیبرلین منجر به تحریک گرانش منفی و تشکیل چوب‌کششی در تنہ‌های خمشده نهال آکاسیا می‌شود و همچنین منجر به افزایش ضخامت لایه ژلاتینی در الیاف چوب‌کششی نهال‌های خمشده می‌شود [۲۲]. از آنجائی که خم متناوب در هیچ‌یک از تحقیقات پیشین بررسی نشده است، در این مطالعه با تیمار خم متناوب و به همراه کود NPK (نیتروژن، فسفات و پتاسیم) و اعمال هورمون جیبرلین، تحریک تشکیل چوب‌کششی

پهنهای حلقه رویشی، پهنهای کل ناحیه آبکش، تعداد سلول‌های ناحیه کامبیوم، فراوانی آوندی (تعداد آوند در واحد سطح؛ VD^۱)، مساحت میانگین (AVLA^۲)، درصد تخلخل (مساحت کل حفره‌های آوندی در واحد سطح TVLA^۳) و میانگین قطر شعاعی و مماسی آوندها انجام شدند.

وابری الیاف و اندازه‌گیری ویژگی‌ها و نسبت‌های بیومتری الیاف

برای اندازه‌گیری ویژگی‌های بیومتری، تراشه‌های چوبی در ابعاد چوب کبریت به طور تصادفی از حلقه مربوط به فصل رویش موردمطالعه هر نمونه تهیه شد و وابری به روش فرانکلین انجام شد [۲۴]. پس از رنگ‌آمیزی الیاف وابری شده با محلول سافرانین، از هر نمونه ۳ اسلاید میکروسکوپی حاوی الیاف آمده شد. درنهایت با گذاشتن لامها در زیر میکروسکوپ، با بزرگنمایی‌های مختلف عکس‌برداری انجام شد. پس از عکس‌برداری از اسلایدها زیر میکروسکوپ و انتقال عکس‌ها به نرمافزار ImageJ طول، ضخامت دیواره و قطر کلی و قطر حفره سلولی ۱۰۰ فیبر اندازه‌گیری شد و نسبت‌های کاغذسازی (lagrی، نرمش و رانکل) بر اساس معادله‌های زیر محاسبه شدند.

$$\text{Slenderness} = \frac{L}{D} \quad (3)$$

$$\text{Flexibility} = C/D \times 100 \quad (4)$$

$$\text{Flexibility} = \frac{2F}{C} \quad (5)$$

که L = طول فیبر D = قطر فیبر C = قطر حفره سلولی P = قطر یک طرف دیواره فیبر می‌باشد.
تجزیه و تحلیل آماری داده‌های به دست آمده از این تحقیق (آنالیز واریانس و مقایسه میانگین‌ها در آزمون دانکن با سطح اطمینان ۹۵ درصد) با استفاده از نرمافزار SPSS انجام شد.

نتایج و بحث

اندازه‌گیری وزن مخصوص بحرانی و هم کشیدگی نمونه‌ها

جهت اندازه‌گیری دانسیته و هم کشیدگی، مکعب‌های چوبی از نمونه‌ها که محورهای ارتوتروپیک و هندسی در آن‌ها کاملاً بر هم منطبق بودند، تهیه شد. برای اندازه‌گیری دانسیته و مقادیر هم کشیدگی چوب، ابتدا نمونه‌ها پس از کدگذاری به مدت یک هفته داخل آب غوطه‌ور شدند تا تحت اشباع کامل از آب قرار گیرند، سپس با یک ترازوی دیجیتالی با دقت ± 0.001 میلی‌متر وزن شده و ابعادشان در سه جهت طولی، مماسی و شعاعی با کولیس دیجیتالی با دقت ± 0.1 اندازه‌گیری شد. نمونه‌ها سپس در داخل آون (103 ± 2 درجه سانتی‌گراد) قرار گرفتند و پس از آن، وزن و ابعاد ثانویه آن‌ها اندازه‌گیری شد. با توجه به روابط ۱ و ۲ مقادیر دانسیته پایه و هم کشیدگی در سه جهت اندازه‌گیری شد [۱۵].

$$D_b = \frac{M_{o.d}}{V_s} \quad (1)$$

$$\% \beta = \frac{D_s - D_{o.d}}{D_s} \quad (2)$$

که D_b دانسیته پایه (بحرانی) $M_{o.d}$ وزن خشک اجاقی V_s حجم کاملاً واکشیده، β ٪ درصد هم کشیدگی ابعاد اشباع با آب $D_{o.d}$ ابعاد کاملاً خشک اجاقی می‌باشد. اعداد گزارش شده برای هر ویژگی میانگینی از سه درخت می‌باشد.

آماده‌سازی مقاطع و اندازه‌گیری ویژگی‌های آناتومی

حلقه مربوط به فصل رویش موردمطالعه از دیگر حلقه‌های هر نمونه جدا و در آب مقطر قرار گرفت سپس بلافاصله با استفاده از میکروتوم لغزشی مدل GSL1 ساخت کشور سوئیس، مقاطع میکروسکوپی به ضخامت ۱۰ میکرون تهیه شد و پس از انجام مراحل شستشو در آب ژاول، رنگ‌آمیزی با سافرانین-آسترابلو انجام پذیرفت [۲۳]. لامهای تهیه شده از مقاطع رنگ‌آمیزی شده، زیر میکروسکوپ اولیمپوس BH2 موردمطالعه قرار گرفتند و از آن‌ها عکس تهیه شده و در آخر نیز با نرمافزار ImageJ مقیاس‌گذاری عکس‌ها و اندازه‌گیری‌های کمی شامل

¹ Vessel Density

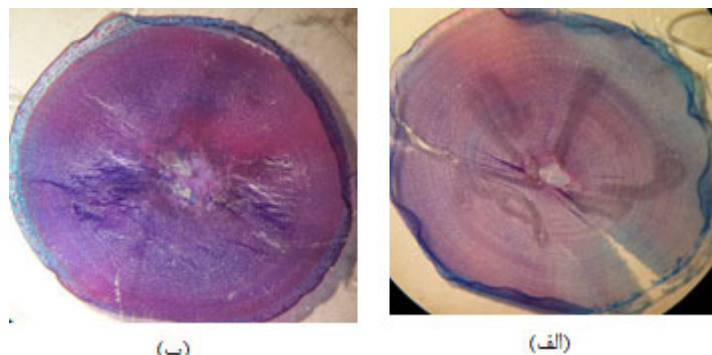
² Average Vessel Lumen Area

³ Total Vessel Lumen Area

در طول فصل رویش باوجود تشکیل چوب کششی و الیاف ژلاتینی، از برومندرکری و نامتقارنی حلقه رویش در اثر خم جلوگیری کرد (شکل ۱).

ویژگی‌های فیزیکی

اعمال خم در اکثر موارد منجر به بروز مرکزی و نامتقارنی حلقه رویش می‌شود ولی مشاهده تصاویر مقاطع عرضی نمونه‌ها نشان داد که اعمال خم به صورت متنابع



شكل ١- مقاطع عرضي، نمونه‌ها (الف: نمونه قائم و ب: نمونه تحت خم متناوب)

کشیدگی‌های تیمارها وجود دارد (جدول ۱). در تیمارهای نسبت به نمونه شاهد، میزان هم کشیدگی طولی افزایش داشت ($F=17.1$, $P=0.000$). این امر به دلیل جدا شدن لایه ژلاتینی از دیواره در حین خشک شدن و جمع شدن در نمونه‌های تیمارشده می‌باشد. نمونه‌های خم متنابوب همراه با NPK+G به ترتیب با ۲/۷۸، ۱/۴۱ و ۲/۳۹ بیشترین هم کشیدگی طولی و کمترین هم کشیدگی‌های شعاعی ($F=75.2$, $P=0.000$) و مماسی ($F=64.7$, $P=0.000$) را داشت. نتایج حاصل با یافته‌های مطالعه Fung و همکاران^[۱۳] (۲۰۰۸) مطابقت داشت.

نتایج نشان داد از نظر میزان دانسیته، در سطح ۹۵ درصد اختلاف معنی داری بین تیمارها وجود دارد و اکثر تیمارها نسبت به نمونه شاهد، با افزایش دانسیته همراه بودند ($F=6.2$, $P=0.001$). نهال های صنوبر قائم تیمار شده با $NPK+G$ ، افزایش معنی داری را در دانسیته نسبت به نمونه شاهد قائم نداشته و تقریباً دانسیته نزدیکی داشتند. بیشترین میزان دانسیته مربوط به نمونه های تحت خم متناوب با $G + NPK$ با $385/28$ کیلوگرم بر متر مکعب می باشد. این نتایج با نتایج Fung و همکاران (۲۰۰۸) مطابقت داشت (جدو، ۱۳).

نتایج نشان داد که تفاوت معنی‌داری بین میزان هم

جدول ۱- مقایسه ویژگی های روشی و فیزیکی نهال های صنوبر تحت تیمار خم متناوب، NPK و G (اعداد داخل پرانتز انحراف معیار مبین به نتایج هر تیمار م باشد)

ویژگی	قائم (شاهد)	قائم NPK	G + قائم	G +	NPK + G	تحت خم متناوب NPK + G	تحت خم متناوب G+	تحت خم متناوب NPK +	تحت خم متناوب	تحت خم	+ قائم
دانسیته (کیلوگرم بر مترمکعب)	۳۰۰/۶۳ ^a	۳۲۸/۵ ^{ab}	۳۶۴/۰۶ ^{bc}	۳۶۱/۲۷ ^{bc}	۳۷۴/۵۶ ^c	۳۶۰/۲۹ ^{bc}	۳۷۱/۴۲ ^c	۳۷۱/۴۲ ^c	۳۸۵/۲۸ ^c	(۷/۸۴)	NPK + G
هم کشیدگی طولی	۰/۷۴ ^a	۱/۴۳ ^b	۱/۵۵ ^{bc}	۲/۲۱ ^d	۱/۰۴ ^{ab}	۲/۰۱ ^{cd}	۲/۳۱ ^{de}	(۰/۳۵)	(۰/۴۳)	(۰/۱۳)	۲/۷۸ ^c
شعاعی	۹/۲۹ ^d	۸/۱۲ ^c	۷/۹۹ ^c	۸/۱۳ ^b	۳/۲۶ ^a	۸/۷۱ ^b	۷/۹ ^c	(۰/۷۵)	(۰/۴۴)	۲/۳۹ ^a	(۰/۱۴)
مماسی	(۰/۴)	(۰/۷۵)	(۰/۵۸)	(۰/۷۵)	(۰/۴۶)	(۰/۴)	(۰/۷۱ ^b)	(۰/۷)	(۰/۴۵)	(۰/۱۳)	۱/۴۱ ^a

مساحت میانگین آوندها در نمونه‌ها در سطح ۹۵ درصد تفاوت معنی‌داری را نشان داد ($F=18.2$, $P=0.000$). میانگین مساحت آوندها در نمونه‌های تیمارشده دارای چوب‌کششی نسبت به نمونه شاهد کمتر بود. کاهش مساحت آوندها در مقایسه با نمونه شاهد، در نمونه‌های خم متناوب نسبت به نمونه‌های تیمارهای قائم، بیشتر بود. کمترین میزان میانگین مساحت آوند مربوط به نمونه تیمار خم متناوب بود. قطر شعاعی و مماسی آوندها نیز در تمامی تیمارها در ناحیه چوب‌کششی کمتر از چوب نرمال بود. نتایج حاصل با نتایج به دست آمده از مطالعات Sayar و Tarmian (۲۰۱۰) مطابقت داشت [۱۱].

درصد تخلخل در جدول ۲ ارائه شده است. به دلیل کاهش فراوانی آوندی و قطر و میانگین مساحت آوندها، میزان تخلخل در نمونه‌های تحت خم و تیمارشده نسبت به نمونه شاهد کمتر بود. افزایش فراوانی آوندها در نمونه‌های قائم با تیمارهای متفاوت تأثیر چندانی در افزایش تخلخل نداشت و فقط در نمونه قائم تیمارشده با NPK+G افزایش تخلخل در ناحیه چوب‌کششی نسبت به چوب نرمال مشاهده شد. نتایج حاصل با نتایج Jourez و همکاران (۲۰۰۱) مطابقت داشت [۶].

فراوانی آوندها در نمونه‌های تیمارشده نسبت به نمونه شاهد افزایش یافت و این افزایش در نمونه‌های دارای تیمار خم متناوب شدت بیشتری داشت. نهال‌های خم شده و تیمار شده با ترکیبات شیمیایی مختلف، فراوانی آوندی کمتری را در چوب‌کششی نسبت به چوب نرمال نشان دادند. نتایج حاصل با نتایج Sayar و Tarmian (۲۰۱۰)، Jourez و همکاران (۲۰۰۱) و Fung و همکاران (۲۰۰۶) مطابقت داشت. در حالی که نهال قائم تیمارشده با ترکیبات شیمیایی مختلف فراوانی آوندی بیشتری را در چوب‌کششی نسبت به چوب نرمال نشان دادند [۶, ۱۱ و ۱۲].

ویژگی‌های آناتومی

پهنهای حلقه رویش در تمامی تیمارهای تحت خم متناوب که بدون برون مرکزی بودند، نسبت به نمونه شاهد کمتر بود و این امر می‌تواند به دلیل تحت تنش بودن نهال و فعالیت و تقسیم سلولی کمتر ناحیه کامبیوم و به ازای آن الیاف با لایه ژلاتینی و تشکیل چوب‌کششی جهت مقاوم کردن ساقه در مقابل تنش خم باشد. اختلاف معنی‌داری در میانگین پهنهای حلقه تیمار در فصل رویش موربررسی مشاهده شد ($F=112.6$, $P=0.000$). در مقابل در تیمارهای قائم، پهنهای حلقه رویش نسبت به نمونه شاهد بیشتر بود ولی چوب‌کششی با شدت کمتری از نمونه‌های تحت خم تشکیل شد. در تمامی تیمارها با اضافه کردن NPK و G، منجر به افزایش پهنهای حلقه رویش شد. تیمار تحت خم متناوب با ۱۲۶۰ میکرون کمترین و تیمار قائم + G با ۴۲۵۷ میکرون بیشترین پهنهای حلقه رویش را داشتند.

نتایج نشان دادند که داده‌های پهنهای ناحیه آبکش در تیمارهای مختلف، اختلاف معنی‌داری داشت ($F=13.1$, $P=0.000$) و تقریباً مشابه نتایج حاصل از پهنهای حلقه رویش بودند. پهنهای بافت آبکشی در نمونه‌های تحت خم کمتر و در نمونه‌های قائم بیشتر از نمونه شاهد بود. بیشترین پهنهای بافت آبکش مربوط به نمونه‌های قائم + NPK + G با ۱۲۷۲ میکرون و کمترین پهنهای بافت آبکش مربوط به نمونه‌های تحت خم متناوب + G با ۵۰۷ میکرون بود.

به طور کلی تعداد سلول‌های ناحیه کامبیومی در تمامی تیمارها نسبت به تیمار شاهد قائم کمتر بود و کمترین تعداد سلول ناحیه کامبیومی مربوط به نهال تحت خم متناوب با اعمال جیبرلین بود. این امر می‌تواند به دلیل افزایش تقسیمات سلولی و افزایش تعداد بافت زمینه فیبری در چوب‌کششی باشد.

جدول ۲- مقایسه ویژگی‌های آناتومی چوب نهال‌های صنوبر تیمارشده با خم متناوب، NPK و G (اعداد داخل پرانتز انحراف معیار مربوط به نتایج هر تیمار می‌باشد)

ویژگی	قائم	NPK + قائم	G + قائم	+NPK + G قائم	تحت خم متناوب	تحت خم NPK + G+ قائم	تحت خم G+ قائم	تحت خم
پهنهای حلقة رویش (میکرون)	۲۳۸۹/۴۶ ^d	۳۹۴۶/۲۳ ^{ef}	(۸۹/۳۵)	۴۲۵۶/۹۶ ^f	۳۶۳۷/۳۶ ^c	۱۲۵۹/۶۶ ^a	۱۵۷۵/۴۶ ^{ab}	۱۶۹۳/۴۶ ^b
پهنهای ناحیه آبکش (میکرون)	(۴۱/۵۶)	(۸۹/۳۵)	(۲۹۵/۱)	(۲۵۴/۷۶)	(۶۰/۶۱)	(۶۱/۹۴)	(۹۵/۴)	۲۰۴۷/۳ ^c (۱۳۲/۲۸)
تعداد سلول‌های ناحیه کامبیوم	۷۴۵/۵۳ ^{abc}	(۲۴۷/۱۹)	(۴۷/۴۶)	۱۲۷۳/۵ ^d	۷۳۵/۱۶ ^{abc}	(۱۵/۸۵)	(۱۲۷/۶۱)	۵۷۸/Y ^{ab} (۴۹/۶۷)
AVLA (میکرون)	۹۹۲/۹ ^{ef}	(۲۲/۵)	(۲۸/۵)	۶۹۴/۹ ^{abc}	۱۲۹۷/۴ ^h	(۳۰/۹)	(۳۲/۵)	۹۵۳ ^{gh} (۱۷)
چوب نرمال	(۱۸/۱)	(۲۲/۵)	(۲۸/۵)	۵۴۶ ^a	(۲۹/۶)	(۱۷)	(۲۲/۹)	۱۲۲۰/۵ ^{def} (۲۶/۱)
VD (تعداد بر میلی‌متر)	۲۸۲/۷۴	۳۳۱/۳۶	۵۴۱/۵۸	۲۴۷/۳۹	۳۰۹/۶۴	۴۲۵/۱۴	۴۲۵/۱۴	۱۳۹/۵۳
چوب نرمال	۱۸۲	۲۰۲/۴	۳۱۰/۱۴	۲۴۲/۵۲	۳۵۲/۳۳	۴۸۳/۰۴	۴۸۳/۰۴	۲۳۸/۸۸
TVLA (درصد)	۲۳/۶۹	۲۴/۵۷	۲۹/۵۷	۱۷/۰۱	۲۵/۵۲	۲۳/۷۶	۱۷/۰۳	چوب کششی
چوب نرمال	۱۸۰۹	۲۲/۵۲	۲۸/۵۱	۲۱/۵۵	۳۱/۴۶	۳۳/۶۹	۳۰/۸۹	۲۷/۰۵
قطر شعاعی آوند (میکرون)	(۱۰/۷۶)	(۷/۹۳)	(۱۰/۷۴)	(۹/۳)	(۱۳/۸۱)	(۹/۶)	(۸/۱۸)	(۲۸/۵ ^{de}) (۱۰/۵)
چوب نرمال	۲۹/۷ ^{de}	(۹/۰۷)	(۱۰/۲۷)	(۲۲/۹۱) ^f	(۱۰/۲۸)	(۸/۸۶)	(۹/۱۱)	۳۰/۴ ^c (۱۱/۴۲)
قطر مماسی آوند (میکرون)	(۱۰/۷۶)	(۷/۹۳)	(۱۰/۷۴)	۲۹/۴ ^{de}	۳۴/۶ ^f	(۱۰/۴ ^c)	(۱۱/۴۲)	۴۹/۷ ^h (۱۶/۸۵)
چوب نرمال	۴۶/۶ ^{def}	(۱۳/۲)	(۱۱/۵)	(۱۶/۶۲)	(۱۱/۲۶)	(۱۰/۹۶)	(۱۱/۶۳)	۴۰/۸ ^{abc} (۱۶/۸۵)

تیمارشده نسبت به نمونه شاهد قائم، از طول بیشتری برخوردار بودند (جدول ۳). الیاف چوب‌کششی نسبت به چوب نرمال دارای طول بیشتری می‌شوند و به دلیل اعمال تنفس تحت تیمارهای انجام‌شده و ایجاد

ویژگی‌ها و نسبت‌های بیومتری الیاف اندازه‌گیری طول الیاف نشان داد که اختلاف معنی‌داری بین طول الیاف نمونه شاهد و نمونه‌های تیمارشده وجود دارد ($F=2.956$, $P=0.005$) و الیاف نمونه‌های

(۲۰۰۱) و Hosseinzadeh و همکاران (۲۰۰۶) و Lou و همکاران (۲۰۰۶) مطابقت داشت [۶، ۱۲ و ۱۷]. اعمال نیتروژن به نمونه‌های قائم منجر به افزایش طول الیاف و ضخامت دیواره شد که با نتایج Pitre و همکاران (۲۰۰۷a) و (۲۰۱۰) از نظر ضخامت دیواره مطابقت داشت [۱۶ و ۱۹]. در مورد طول الیاف عکس بود، همچنان تیمار خم متنابو و تیمار ترکیبی خم متنابو به همراه نیتروژن باعث افزایش طول و ضخامت دیواره الیاف شد که با نتایج Pitre و همکاران (۲۰۱۰) مطابقت داشت [۱۹]. نتایج تیمار جبیرلین که موجب افزایش ضخامت دیواره و کاهش قطر کلی و قطر حفره سلولی شد با نتایج Jiang و همکاران (۲۰۰۸) مطابقت داشت [۲۱].

نسبت‌های بیومتری شامل نسبت انعطاف‌پذیری، نسبت رانکل و نسبت لاغری الیاف نمونه‌ها در جدول ۲ آرائه شده است. الیاف چوب‌کششی از نسبت رانکل و نسبت لاغری بیشتر در مقایسه با الیاف چوب نرم‌مال و نسبت انعطاف‌پذیری کمتر از الیاف چوب نرم‌مال برخوردار هستند [۱۲]. نتایج حاصل نشان داد که نمونه‌های تیمارشده به دلیل تشکیل چوب‌کششی، نسبت به نمونه شاهد، دارای نسبت انعطاف‌پذیری کمتر و نسبت رانکل و نسبت لاغری بیشتری بودند. از آنجایی که دیواره ضخیم‌تر الیاف منجر به کاهش قابلیت چاپ پذیری کاغذ حاصله [۱۰] و افزایش ماتی و زبری و بهبود مقاومت و طول پاره شدن کاغذ حاصله [۲۵] می‌شود، انتظار می‌رود که تیمارهای انجام‌شده باضخامت دیواره الیاف بیشتر و درنتیجه نسبت رانکل بیشتر، کاغذی با چاپ پذیری کمتر و ماتی و زبری بیشتری تولید کنند. طول بیشتر و قطر کمتر در نمونه‌های تیمارشده منجر به نسبت لاغری بیشتر شد که این امر باعث شکل‌گیری بهتر الیاف روی توری ماشین کاغذ و بهبود کیفیت کاغذ می‌شود [۱۰].

چوب‌کششی در تیمارها به نسبت‌های مختلف، طول الیاف در آن‌ها بیشتر از نمونه شاهد بود. بیشترین طول الیاف مربوط به نمونه‌های تحت تیمار خم متنابو و خم متنابو همراه با G+NPK به ترتیب با میانگین طول ۸۹۵/۸۶ و ۸۳۵/۵۷ میکرون بود. میانگین طول الیاف در نمونه شاهد برابر با ۷۸۶/۲۲ میکرون بود. نتایج حاصل از این تحقیق با نتایج Jourez و همکاران (۲۰۰۱)، Pitre و همکاران Tarmian و Sayar (۲۰۱۰)، Pitre و همکاران (۲۰۰۷b) (۲۰۱۰) و همکاران (۲۰۱۵) و Hosseinzadeh و همکاران (۲۰۱۰) مطابقت داشت [۶، ۱۱، ۱۲، ۱۶ و ۱۸].

نتایج میانگین قطر کلی، قطر حفره سلولی و ضخامت دیواره الیاف در جدول ۲ نشان داده شده است. مشخص شد که تفاوت معنی‌داری بین قطر کلی، قطر حفره سلولی وجود داشت ولی تفاوت میانگین ضخامت دیواره الیاف نمونه شاهد و نمونه‌های تیمارشده که دارای چوب‌کششی بودند، معنی‌دار نبود (به ترتیب، $F=3.8$, $P=0.001$; $F=10.2$, $P=0.000$; $F=0.85$, $P=0.546$) الیاف نمونه‌های شاهد در مقایسه با الیاف نمونه‌های تیمارشده از قطر کلی و قطر حفره سلولی بیشتری برخوردار بودند. میانگین قطر کلی و قطر حفره الیاف نمونه‌های شاهد به ترتیب ۲۵/۰۶ و ۱۴/۳۵ میکرون بود، درحالی که نمونه‌های تحت خم متنابو به همراه NPK+G به ترتیب با ۸/۸۵ و ۲۰/۹۸ میکرون، دارای کمترین میزان قطر کلی و قطر حفره سلولی بودند. همچنان، ضخامت دیواره الیاف نمونه‌های تیمارشده نسبت به نمونه شاهد بیشتر بود. میانگین ضخامت دیواره الیاف نمونه شاهد برابر با ۵/۳۵ میکرون و نمونه تحت تیمار خم متنابو با ۶/۲۵ میکرون بیشترین ضخامت دیواره الیاف را دارا بود. این افزایش ضخامت دیواره الیاف به دلیل اضافه شدن لایه باضخامت زیاد در سطح داخلی الیاف نمونه‌های دارای چوب‌کششی بود. نتایج حاصل از این تحقیق با نتایج Jourez و همکاران

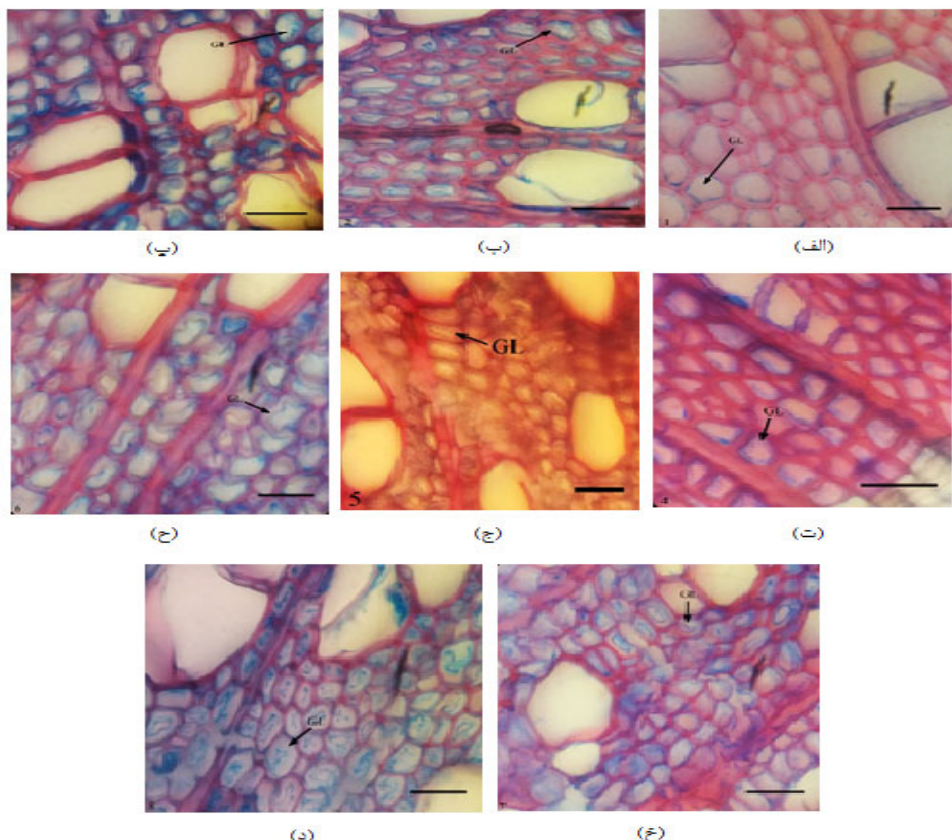
جدول ۳- مقایسه ویژگی‌های بیومتری الیاف چوب نهال‌های صنوبر تیمارشده با خم متناوب، NPK و G (اعداد داخل پرانتز انحراف معیار مربوط به نتایج هر تیمار می‌باشد)

ویژگی	قائم (شاهد)	قائم	NPK + قائم	G + قائم	تحت خم متناوب	تحت خم G + متناوب	تحت خم NPK + G متناوب
طول الیاف (میکرون)	۷۸۶/۲۲ ^a	۸۰۱/۲۴ ^a	۸۲۲/۳۷ ^a	۸۱۸/۷۶ ^a	۸۹۵/۸۶ ^b	۷۹۸/۹۵ ^a	۷۹۳/۶۴ ^a
(۱/۱۴۶)	(۱۲/۱۳۰)	(۱۹/۱۴۵)	(۱۳۳/۴۳)	(۲۴۸/۳)	(۹۵/۱۵)	(۱۷۵/۸۹)	(۱۳۲/۵۹)
قطر کلی الیاف (میکرون)	۲۵/۰۶ ^c	۲۳/۵۵ ^{abc}	۲۳/۶۳ ^{abc}	۲۲/۲۴ ^{ab}	۲۳/۰۶ ^{abc}	۲۴/۷۵ ^{bc}	۲۰/۹۸ ^a
(۴/۷۸)	(۳/۳۷)	(۴/۱)	(۳/۶۷)	(۳/۳۲)	(۴/۰۴)	(۴/۳۴)	(۴/۴۳)
قطر حفره سلولی (میکرون)	۱۴/۳۵ ^d	۱۲/۱۶ ^{bc}	۱۱/۲ ^{bc}	۱۰/۳۸ ^{ab}	۹/۱ ^{ab}	۱۲/۷۵ ^{cd}	۸/۸۵ ^a
(۳/۷۱)	(۳/۴۸)	(۳/۴۵)	(۲/۶)	(۲/۵۹)	(۳/۷۶)	(۳/۷۱)	(۳)
ضخامت دیواره الیاف (میکرون)	۵/۳۵ ^a	۵/۶۹ ^a	۶/۱۲ ^a	۵/۵۲ ^a	۵/۹۹ ^a	۵/۰۲ ^a	(۲/۱۲)
(۱/۰۷)	(۰/۸۴)	(۱/۱۹)	(۱/۴۲)	(۱/۱۲)	(۰/۸۷)	(۰/۰۸۷)	(۰/۰۲)
نسبت انعطاف‌پذیری	۵۷/۲۶	۵۱/۶۲	۴۷/۳۸	۴۶/۶۸	۴۶/۷۷	۵۱/۵۳	۴۲/۲۹
نسبت رانکل	۰/۷۴	۰/۹۳	۱/۱۱	۱/۱۴	۱/۱۳	۰/۹۱	۱/۳۶
نسبت لاغری	۳۱/۳۷	۳۴/۰۱	۳۴/۷۹	۳۶/۸	۴۱/۴۵	۳۴/۶۳	۳۲/۰۵

دربر گرفته است (شکل ۲ مقاطع شماره ۵، ۶ و ۷) که نتایج حاصل با نتایج تحقیق Pitre و همکاران (۲۰۱۰) که بر روی کلن *P. trichocarpa* (Torr. & Gray) × *P. trichocarpa* (Torr. & Gray) مطالعه کردند در مورد تیمار خم مطابقت داشت [۱۹] ولی تیمار خم همراه با کود نیتروژن در تحقیق حاضر نتوانست مانند مطالعه مذکور باعث افزایش ضخامت مشهودی نسبت به تیمار خم شود. نتایج تیمار خم متناوب همراه با G با نتایج مطالعه Jiang و همکاران (۲۰۰۸) مطابقت داشت و این تیمار توانست مشابه مطالعه ذکر شده با اعمال جیبرلین به نهال‌های خم، بر ضخامت لایه ژلاتینی حاصل الیاف چوب‌کششی بیفزاید و لی با نتایج Nugroho و همکاران (۲۰۱۲) بر روی نهال‌های خم شده آکاسیا مطابقت نداشت [۲۱ و ۲۲]. نمونه‌های تیمارشده با خم متناوب + G + NPK بیشترین ضخامت لایه ژلاتینی تشکیل شده در دیواره داخلی الیاف چوب‌کششی را داشتند و تقریباً سطح داخلی حفره سلولی با لایه ژلاتینی پرشده بود و می‌توان نتیجه گرفت که این تیمار از نظر فاکتور ضخامت لایه ژلاتینی بیشترین تأثیر را در تحریک تشکیل چوب‌کششی داشته است (شکل ۲ مقطع ۸).

بررسی شدت تشکیل چوب‌کششی با استفاده از رنگ‌آمیزی دوگانه

بررسی تشکیل لایه ژلاتینی در دیواره داخلی الیاف چوب نشان داد که در تیمار شاهد در اکثر الیاف چوب لایه ژلاتینی تشکیل نشد و بهطور بسیار پراکنده در برخی از الیاف و خیلی جزئی مشاهده شد (شکل ۳ مقطع شماره ۱). در نمونه قائم + NPK لایه ژلاتینی در سطح داخلی الیاف مشخص است (شکل ۲ مقطع شماره ۲) این نتایج با نتایج تحقیق Pitre و همکاران (۲۰۰۷b) مطابقت داشت [۱۸]. در نمونه‌های قائم تیمارشده با G نیز لایه ژلاتینی ایجاد شده در الیاف قابل مشاهده است نتایج این نمونه‌ها با نتایج Funada و همکاران (۲۰۰۸) و Jiang و همکاران (۲۰۰۸) مطابقت داشت [۲۰ و ۲۱]. ضخامت این لایه نسبت به نمونه‌های تیمارشده با NPK کمتر است (شکل ۲ مقطع شماره ۳). در نمونه‌های قائم تیمارشده با NPK + G بیشترین ضخامت لایه ژلاتینی ایجاد شده در چوب‌کششی مشاهده شد. در تمامی نمونه‌های تحت خم متناوب، الیاف دارای لایه ژلاتینی در قسمت داخلی حفره سلولی مشاهده شد. ضخامت این لایه در الیاف نمونه‌های خم متناوب، خم متناوب + NPK و خم متناوب + G تقریباً برابر باهم بود و حدوداً یکسوم از حفره سلولی را



شکل ۲- مقایسه تشکیل لایه ژلاتینی در الیاف تیمارهای مختلف: (الف): تیمار قائم + NPK؛ (ب): تیمار قائم + G؛ (پ): تیمار قائم + G + NPK؛ (ت): تیمار قائم + NPK + G؛ (ج): تیمار خم متناوب + G؛ (خ): تیمار خم متناوب + G + NPK؛ (س): تیمار خم متناوب + G + NPK + G؛ (د): لایه ژلاتینی: GL

فاکتورهای ذکر شده، تیمارهای تحت خم متناوب نسبت به تیمارهای قائم، تأثیر بیشتری را در تشکیل چوب کششی داشتند و تیمار خم متناوب با G+NPK از همه تیمارها بیشترین اثر را داشت. در این تیمار بیشترین مساحت تغییر رنگ آبی در اثر رنگ آمیزی دوگانه و در واقع بیشترین الیاف دارای چوب کششی در سطح مقطع مشاهده شد و همچنین بیشترین ضخامت لایه ژلاتینی را دارا بود.

نتیجه‌گیری

برون مرکزی در چوبهای دارای چوب کششی امری متداول است که می‌تواند در کاربردهای مختلف چوب موجب محدودیت در استفاده شود، با این وجود، اگر بتوان با اعمال روشنی، از ایجاد برون مرکزی در چوب کششی جلوگیری کرد، می‌توان این مشکل را تا حدودی حل کرد. ازین‌رو خم متناوب به عنوان یکی از راه حل‌های تولید چوب کششی مورد بررسی قرار گرفت. به طور کلی با بررسی

منابع

- [1] Mellerowicz, E. J., Baucher, M., Sundberg, B. and Boerjan, W. 2001. Unravelling cell wall formation in the woody dicot stem. *Plant Molecular Biology*, 47: 239–274.
- [2] Moulia B, Coutand C. and Julien, J-L. 2015. Mechanosensitive control of plant growth: bearing the load, sensing, transducing, and responding. *Frontiers in Plant Science*, 6(52). doi: 10.3389/fpls.2015.00052.

- [3] Hellgren, J. M., Olofsson, K. and Sundberg, B. 2004. Patterns of auxin distribution during gravitational induction of reaction wood in poplar and pine. *Plant Physiology*, 135: 212–220.
- [4] Clair, B. Déjardin, A. Pilate, G. and Pilate, T. 2018. Is the G-layer a tertiary cell wall? *Frontiers in Plant Science*, 9(623).
- [5] Sawada, D., Kalluri, U. C., O'Neill, H., Urban, V., Langan, P., Davison, B. and Pingali, S. V. 2018. Tension wood structure and morphology conducive for better enzymatic digestion. *Biotechnology for Biofuels*, 11(44).
- [6] Jourez, B. Riboux, A. and Leclercq, A. 2001. Anatomical characteristics of tension wood and opposite wood in young bended stem of poplar (*Populus euramericana* cv' ghoy). *International Association of Wood Anatomist Journal*, 22(2): 133-157.
- [7] Mellerowicz, E.J. and Gorshkova, T.A. 2012. Tensional stress generation in gelatinous fibers: a review and possible mechanism based on cell-wall structure and composition. *Journal of Experimental Botany* 63: 551–565.
- [8] Fujita, M., Sakai, H. and Harada, H. 1974. Electron microscopy of microtubules and cellulose microfibrils in secondary wall formation of poplar tension wood. *Journal of Wood Science*, 20: 147–156.
- [9] Clair, B. Almeras, T. Pilate, G. Jullien, D. Sugiyama, J. and Riekel, C. 2011. Maturation stress generation in poplar tension wood studied by synchrotron radiation microdiffraction. *Plant Physiology*, 155: 562–570.
- [10] Lashkarbolouki, E. and Parsapajouh, D. 2005. A study of anatomical characteristics, fiber biometry and some other physical properties of one of the most important clones of Poplar (*Populus deltoides* 77.51) in Gilan. *Iranian Journal of Natural Resources*, 58(1): 194-207.
- [11] Sayar, M. and Tarmian, A. 2010. The effect of tension wood formation on the anatomical characteristics and gelatinous layer formation in the fibers of poplar (*P. nigra*). *Journal of Wood & Forest Science and Technology*, 17(2): 133-144.
- [12] Hossein Zadeh, J., Abdolkhani, A., Emami Nasab, M., Khodabandeh Lou, H. and Ahmadi, M. 2015. Investigation the properties of paper made from tension and normal wood of *Populus nigra*. *Iranian Journal of Wood and Paper Science Research*, 30(4): 653-661.
- [13] Fung, Ch.H., Guibal, D., Clair, B., Gril, J., Liu, Y.M. and Liu, Sh.Q. 2008. Relationships between growth stress and wood properties in poplar I-69 (*Populus deltoides* Bartr. cv. "Lux" ex I-69/55). *Annals of Forest Sciences*, 65(307).
- [14] Roignant, J., Badel, E., Leblanc-Fournier, N., Brunel-Michac, N., Ruelle, J., Moulia, B. and Decourteix, M. 2018. Feeling stretched or compressed? The multiple mechanosensitive responses of wood formation to bending. *Annals of Botany*, 121(6): 1151-1161.
- [15] Luo, J., Zhou, J., Masclaux-Daubresse, C., Wang, N., Wang, H. and Zheng, B. 2019. Morphological and physiological responses to contrasting nitrogen regimes in *Populus cathayana* is linked to resources allocation and carbon/nitrogen partition. *Environmental and Experimental Botany*, 162: 247-255.
- [16] Pitre, F.E., Cooke J.E.K. and Mackay, J.J. 2007. Short-term effects of nitrogen availability on wood formation and fiber properties in hybrid poplar. *Trees*, 21: 249-259.
- [17] Luo, Z.B., Langenfeld-Heyser, R., Calfapietra, C. and Polle, A. 2005. Influence of free air CO₂ enrichment (EUROFACE) and nitrogen fertilization on the anatomy of juvenile wood of three poplar species after coppicing. *Trees*, 19: 109-118.

- [18] Pitre, F.E., Pollet, B., Lafarguette, F., Cooke, J.E.K., MacKay, J.J. and Lapierre, C. 2007. Effects of increased nitrogen supply on the lignification of poplar wood. *Journal of Agricultural and Food Chemistry*, 55: 10306-10314.
- [19] Pitre, F.E., Lafarguette, F., Boyle, B., Pavy, N., Caron, S., Dallaire, N., Poulin, P., Ouellet, M., Morency, M., Wiebe, N., Ly Lim, E., Urbain, A., Mouille, G., Cooke, J.E.K. and Mackay, J.J. 2010. High nitrogen fertilization and stem leaning have overlapping effects on wood formation in poplar but invoke largely distinct molecular pathways. *Tree Physiology*, 30: 1273-1289.
- [20] Funada, R., Miura, T. and Shimizu, Y. 2008. Gibberellin-induced formation of tension wood in angiosperm trees. *Planta*, 227(6): 1409–1414.
- [21] Jiang, S., Li, Y.F., Chen, X.H. and Xu, K. 2008. Control of negative gravitropism and tension wood formation by gibberellic acid and indole acetic acid in *Fraxinus mandshurica* Rupr. var. *japonica* maxim seedlings. *Journal of Integrative Plant Biology*, 48(2): 161-168.
- [22] Nugroho, W.D., Yamagishi, Y., Nakaba, S., Fukuahara, S., Begum, S., Marsoem, S.N., Ko, J.H., Jin, H.O. and Funada, R. 2012. Gibberellin is required for the formation of tension wood and stem gravitropism in *Acacia mangium* seedlings. *Annals of Botany*, 110: 887–895.
- [23] Gärtner, H. and Schweingruber, F.H. 2013. Microscopic preparation techniques for plant stem analysis. Verlag Dr. Kessel, 78 p.
- [24] Franklin, G.L. 1945. A rapid method of softening wood for microtome sectioning tropical wood. Oxford University Press, 36-88.
- [25] Mahdavi, S., Faezipour, M., Resalati, H. and Familian, H., 2003. The effects of provenance and age variations on wood properties of eastern cottonwood. *Iranian Journal of Natural Resources*, 56(3): 281-292.

Anatomical Variations in Tension Wood of *Populus alba* under alternate bending, nitrogen fertilization and gibberellin treatments

Abstract

Poplar is one of the most widely used species in wood and paper industries, and there is a high demand for plantation of this species. Therefore, studying the factors affecting the biometric properties of fibers, anatomy, and physical properties of poplar wood is important. Reaction wood formation (tension wood) in woody plant like poplars is reaction against stress and environmental factors. Tension wood is a rich source of cellulose that can be used for some products including paper or biofuels. The aim of this study was to stimulate the formation of tension wood in two-years-old white poplar (*Populus alba*) saplings by using alternate bending, nitrogen fertilization (NPK) and inducing gibberellin (G) hormone. Saplings were bended alternately for one month in one direction, and the next month in the opposite direction during the growing season, fertilizer application was applied twice i.e. at the beginning and in the middle of the growing season and gibberellin induction was applied once in the early growing season. Physical and anatomical characteristics of xylem were investigated after the end of the growing season. Studying of specimen transverse section after Safranin/Astra-blue staining showed that in general, alternate bending treatments had more tension wood area in growth ring and thicker gelatinous layer than straight specimens. Alternate bending treatment with NPK+G had a higher wood density, more longitudinal shrinkage, less radial and tangential shrinkage, smaller and less frequent vessels, longer and thicker fibers. The results showed that this treatment was the most effective on the stimulation of the tension wood and the intensity of the formation of the tension wood in these specimens was higher.

Keywords: poplar, wood anatomy, tension wood, alternate bending, nitrogen, gibberellin, gelatinous layer.

R. Gorgij¹
K. Pourtahmasi²
R. Maali Amiri³
A. Abdolkhani⁴

¹ Ph.D. graduated, Department of wood and paper science and technology, Faculty of natural resources, University of Tehran, Karaj, Iran

² Prof., Department of wood and paper science and technology, Faculty of natural resources, University of Tehran, Karaj, Iran

³ Prof., Department of Agronomy and Plant Breeding, Faculty of Agricultural Science and Engineering College of Agriculture & Natural Resources, University of Tehran, Karaj, Iran.

⁴ Associate Prof., Department of wood and paper science and technology, Faculty of natural resources, University of Tehran, Karaj, Iran

Corresponding author:
pourtahmasi@ut.ac.ir

Received: 2019/08/07

Accepted: 2019/10/07